

新日本製鐵(株) 製鋼研究センター ○ 原島和海, 溝口庄三, 梶岡博幸  
第一技術研究所試験室 千田祐美

1. 緒言 薄板鋼板の加工性向上, 時効防止のために溶鋼中の炭素 [C] は 20 ppm 以下に低減する必要がある。これまで, 溶鋼の脱炭に関する研究は多数報告されているが<sup>1), 2)</sup>, 減圧下でしかも低炭素濃度領域の脱炭反応の支配因子は必ずしも明らかではない。そこで最終処理工程として RH などの真空処理を想定し, 減圧下の脱炭挙動を検討した。

2. 実験方法 実験装置の概要を Fig. 1 に, 実験条件を Table 1 に示す。溶解炉は真空誘導炉であり, 脱炭は Ar - CO - CO<sub>2</sub> ガスを溶鉄表面に吹付けて実施した。

3. 実験結果 本実験条件の範囲では, CO ガス気泡の発生はなく, 脱炭速度が [%C] に依存しない I 領域 ([C] ≥ 200 ppm) と, [%C] の一次式で示される II 領域 ([C] < 200 ppm), III 領域 ([C] < 20 ppm) に区分される (Fig. 2)。[O] 濃度は I 領域では一定, II, III 領域では増加する。

以下各領域の脱炭速度定数  $k$  について検討する。I 領域:  $k_1$  は  $Q_{CO_2}$  に比例して増加し, [%S] の増加と共に減少する (Fig. 3, 4)。II 領域:  $k_2$  はほとんど  $Q_{CO_2}$  に依存しないが [%S] の増加と共に減少することが判明した (Fig. 3, 4)。III 領域:  $k_3$  は  $Q_{CO_2}$  が多くなると小さくなる傾向があった。[%S] の影響は明瞭ではない。[%O] は III 領域の方が II 領域よりも高濃度であった。

4. 考察 I 領域の脱炭反応は  $CO_2$  の供給速度と化学反応の混合律速と推定され, 硫黄の阻害作用が認められる。硫黄の吸着平衡定数  $\kappa_s$  として 75 の値が得られ, 脱窒実験<sup>3)</sup> から求まる値 63 と良く一致した。II, III 領域の脱炭反応は, [C] の物質移動と界面化学反応によって律速されると考えられる。 $k_2$  よりも  $k_3$  が小さい理由は, [%O] の相違による吸着酸素の阻害作用によると考えることもできる。ただし, この領域の脱炭挙動は [C] の分析精度の問題もあり, 今後の検討課題である。

5. 結論 [%S] の増加は, I, II 領域の脱炭速度を低下させる。したがって, 脱炭処理は低硫黄溶鋼が有利である。II, III 領域の脱炭速度の相違の一つの要因として, [O] 吸着による阻害作用を推定した。

文献 例えば 1) 野村, 森: 鉄と鋼, 58(1972), p. 29

2) 真目, 松尾: 鉄と鋼, 72(1986), S1104

3) 原島, 溝口, 梶岡, 坂倉: 鉄と鋼, 71(1985), S955

Table 1. Experimental conditions.

Metal:	12 kg, 1600 °C
Total gas flow rate:	20 l/min
CO/CO <sub>2</sub> flow rate:	5 l/min
Ar flow rate:	15 l/min
Total pressure:	10~12 mmHg
Nozzle:	7.5 mm <sup>Ø</sup> , Lance Height: ≈150mm
Crucible:	MgO, 120 mm <sup>Ø</sup> ×250mm

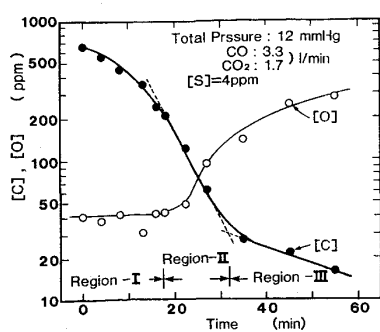


Fig. 2. Change in [C] and [O] in iron melt during gas blowing under reduced pressure.

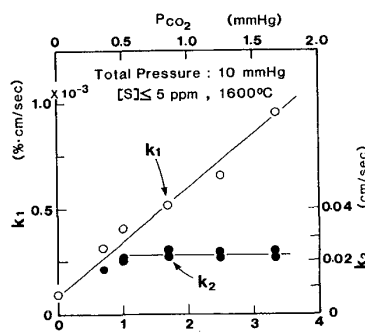


Fig. 3. Relation between  $Q_{CO_2}$  and  $k_1, k_2$  (low [S] iron melt).

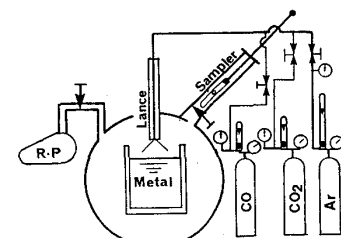


Fig. 1. Experimental apparatus

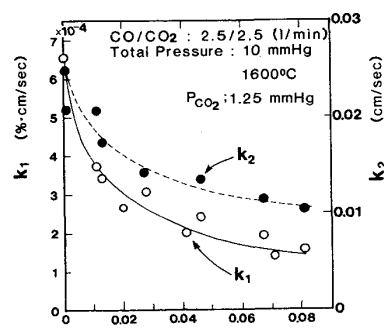


Fig. 4. Influence of [%S] on  $k_1, k_2$ .